

北海道大学工学部

正員
吉田 静男

明瞭な二層をなす流体場の上層表面から取水する場合、混合によって混合層(発生機構から、堆積層というべきかもしれない)が形成されるが、この機構の解明と形状予測の可能性について論じてみる。

回実験及び混合層発生機構

実験は Size $8\text{cm} \times 20\text{cm} \times 600\text{cm}$, $8\text{cm} \times 50\text{cm} \times 600\text{cm}$ の水槽を使って行なわれた。いずれの場合も Fig.1 に示すごとく、あらかじめたててある塩水(P_3)上に淡水(P_2)を一端から注ぎ、取水は他端に設置された堰を越流させる事によって行なった。又塩水比重も種々変えて実験を行ったが、いずれの場合でも Photo.1 に見られる様な淡水層、塩水層と明瞭に区別できる混合層が発生する。この混合層の発生と成長の機構は色素トレーサーを追跡する事によって次の様なものである事が分かった。まず上流で生成された混合液が取水口まで輸送されてくる。その中には充分希薄で取水の中に取込まれてしまう液体と比較的重く、取残される液体がある。残留した液体は、やがて Fig.2 のごとき flow pattern を有する様になり、塩水層からの塩分拡散と共に次第にその密度を増して上流側へと成長していく。又混合層内部の密度場は、塩水層との同化を目指して、限りなく変化し続け、明瞭な境界を破壊しつづけるが、取水中に取込まれる塩分は非常に少なく、この欠損塩分を塩水層に補給したとしても初期の密度場は維持できない。しかしこの密度場の変化はきわめて遅く、ある時刻における混合層の形状を力学的に予測する場合、定常と見なし得るものである。こうした機構は取水流量が比較的小ない場合に見られるが、取水流量があくまで越すと Fig.3 に示す様な発達途上の K-H 波 (Thorpe²⁾ の "rolls" の初期状態と思われる。循環は進行を伴ない時間とともに成長する。成長が著しくなると淡水を混合層内に引き込む様になる。この機構は "塩水楔への淡水混入" にも見られる)を見る様になり、加えて速やかに伝播する(波速式³⁾で説明できる)内部波の発生も見られる様になる。この K-H 波は伝播速度が非常に小さいため通常の内部波はこの上を通過する事になり、上下振動を強いられ、中には碎波に至るものも見られる。又碎波に至らない内部波は增幅され、取水口ではその Crest が堰を越し取水層分を著しく増大させる。勿論この時の塩分増大は内部波波数に一致した間歇的なものであり、この時間平均塩分濃度即取水口における

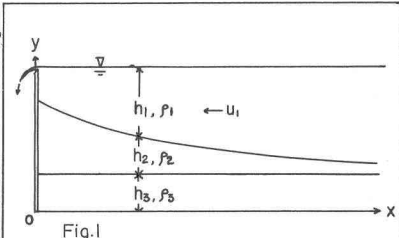


Fig.1

f: 摹抗係数 g: 重力加速度 h: 層厚 δ
 u: 流速の x 成分 x: 座標 F: 内部フルード数 $= \sqrt{fgh}$ Q: 流量 (cc/s) R: レイリ数 $= u/h_1/h_2$ $\rho = (\rho_{20} - \rho_{21})/f\bar{\rho}_2$ $\gamma = A/\bar{\rho}_2$
 $\delta = P_3/P_2$ $E_{ij} = (\bar{\rho}_j - \bar{\rho}_i)/\bar{\rho}_j$ μ : 動粘性係数 ρ : 密度 $\psi = F^2 R$
 suffix 1,2,3: 上, 中, 下層 suffix 2 u, 2 b: 第 2 層上, 下境界 $\bar{\rho}_i$: i 層鉛直断面平均密度

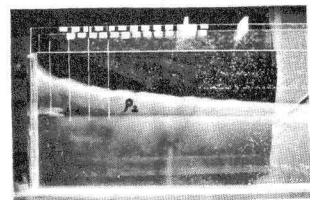
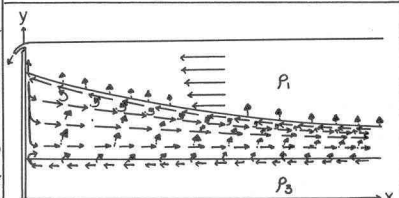
Photo.1 混合層(P_3)—界面にK-H波が見える。

Fig.2 混合層内流れ図

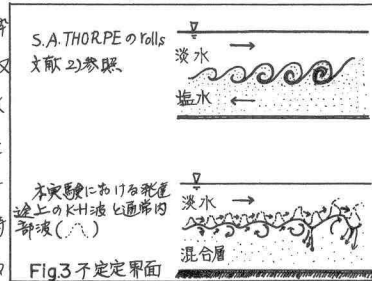
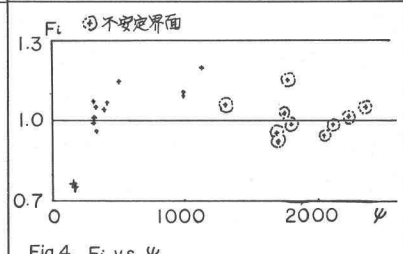


Fig.3 不定期界面

Fig.4 F vs. ψ

淡水層の塩分濃度とはならない。

回 取水口における制限条件及び混合層密度構造

上述のごとき混合層の準定常性に対して、取水口ではFig.4に示すごとくすべての実験を通じてほぼ $f_i = 1$ という恒常性を有している。この制限条件は塩水楔の羽口条件でもあり、混合層と塩水楔の類似性の一つとして挙げることができるが、他方非常に異なる特性も見出せる。その特性はFig.5,6の等密度線図に見られる正方形への $\bar{\rho}$ (混合層鉛直断面の平均密度) 増大の傾向である。(塩水楔では通常減少する。) その他の特性として $\partial \bar{\rho} / \partial x = \text{const}$ といえそうである。

回 運動方程式及び抵抗係数

混合層形状は剪断応力を無視した場合説明できないことがすぎに用かっているので、ここでは剪断応力を考慮してみた。得られた実験結果から、Fig.1に示す様な三層モデルを考えればよいことが分かるが、実状をかんがめく混合層及び塩水層の流速を無視し、鉛直方向速度成分も無視する。又水路は傾斜していないものとして運動方程式を立て整理すれば次式が得られる。

$$\begin{array}{l|l|l|l} (1 - u_1^2 / g h_1) & 1 & 1 & \partial h_1 / \partial x \\ \gamma & (1 - \beta / 6) & 1 & \partial h_2 / \partial x \\ \gamma & 1 & \delta & \partial h_3 / \partial x \end{array} \begin{array}{l} - f_i |u_1| u_1 / g h_1 \\ = f_i |u_1| u_1 / 2 g h_2 + (h_2 / 2) \partial \bar{\rho} / \partial x - (6 - \beta) h_2 / (2 \bar{\rho}_1) \partial \bar{\rho} / \partial x \\ - (h_2 / \bar{\rho}_2) \partial \bar{\rho} / \partial x \end{array} \quad \cdots \cdots (1)$$

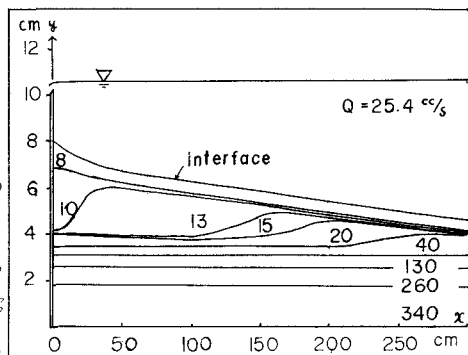


Fig.5 Density distribution

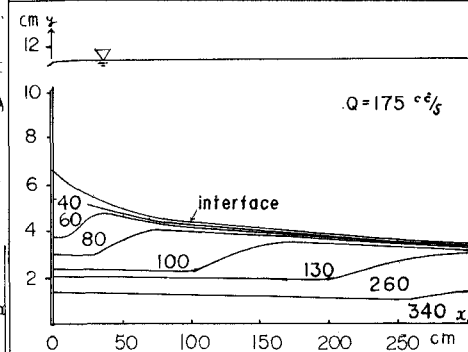


Fig.6 Density distribution

筆者の実験は $0.00267 < E_B < 0.0579$, $0.000400 < E_{I2} < 0.000710$ と可成広範であるが、この領域では $B < 1$, $f_i (\partial \bar{\rho} / \partial x) < 0$ であって実用上 $\beta = 0$ とおける。この近似だけでは $\bar{\rho}$ が x の関数であるため線型化できず解は $\bar{\rho} = \bar{\rho}(x - t)$ を含む初期値問題として数値計算する以外求まらない。ここで f_i の一義的決定が必要となるが周知のごとく実測値に合う f_i をさがす以外今のところ方法がない。(1)式より f_i と $\partial h_i / \partial x$ の関係を調べると次式のごとくなる。

$$f_i = -2g / (A_1 A_2 \{h_1 h_2 / (h_1 + h_2)\}) \{ \partial h_1 / \partial x (h_2 - u_1^2 / g h_1) - (h_2 / 2 \bar{\rho}_1) \partial \bar{\rho} / \partial x \} \quad \cdots \cdots (2) \quad (\text{ただし } \beta = 0)$$

この(2)式にもとづき先対 ψ の関係を調べると Fig.7 のごとくなつた。これによると筆者の実験にとどまらず f_i は ψ と強い相関をもつ $f_i = 0.2\psi^{-0.5}$ と表わすことが出来る。この f_i を使用すれば(1)式はパラメーターを含まない簡単な初期値問題として取扱うことが出来る。さて筆者の f_i を従来の結果と比較してみると金子氏の実験式とはほとんど変わらず、推奨・玉井及び中村阿部各氏の測定⁴⁾から $f_i = 1$ 近傍まで直線的に延長した分布になっている。こうした結果から混合層の形態予測は、一応、可能であるといえ、これまで主張されてきた f_i 対 ψ の関係の信頼度から混合層の形態維持には剪断力が大きな役割を果しているといつてよいであろう。ただ安定界面と不安定界面を同時に持つ混合層の形

状予測をする場合前からも分かる様に $f_i = 0.2\psi^{-0.5}$ を使用しても予測不可能であり、今後さらに検討されるべき問題である。終りにあたり有益な御助言をいただいた北大工学部教授柏村正和先生に深く感謝の意を表します。

1) 吉田・北越福田: 土木学会北海道支部論文報告集第49-1. 2) S.A.THORPE: J.Fluid Mech. (1973) Vol.61, Part 4.

3) 吉田: 第28回年譲, 昭48-10. 4) 水理公式集(昭和46年度改訂版)P.584.

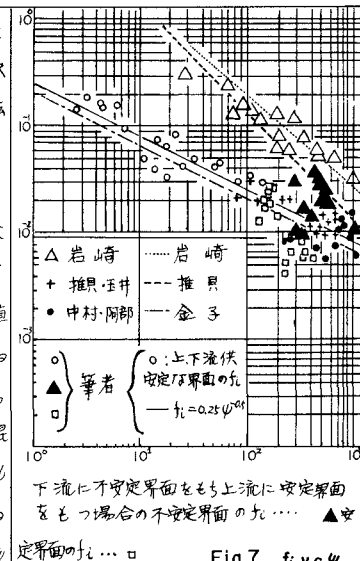


Fig.7 f_i v.s ψ